

水撃圧の負圧について

山梨大学 工 萩原能男

1. まえがき 水撃圧の基礎方程式は一般に図-1に示されるように貯水池より下流側へ管軸にそって x 軸をとり、時間を t 、平均流速を v 、圧力水頭を H 、重力の加速度を g 、水の体積弾性係数を K 、鋼管の弾性係数を E 、内径を D 、肉厚を b 、水の単位重量を w 、水撃圧波速を a とすると、運動の方程式および連続の方程式は、

$$\frac{\partial v}{\partial t} = -g \frac{\partial H}{\partial x} \quad \cdots \cdots (1)$$

$$\frac{\partial v}{\partial x} = -\left(\frac{1}{K} + \frac{D}{EB}\right) w \frac{\partial H}{\partial t} \quad \cdots \cdots (2)$$

$$a = \sqrt{\frac{g}{w\left(\frac{1}{K} + \frac{D}{EB}\right)}} \quad \cdots \cdots (3)$$

であたえられる。急閉塞によるバルブ

このところの圧力変動は図-2に示されるように、正圧は $H = av/g$ なる関係より流速変化に比例してあこるが、負圧は絶対圧力0より低下しないという条件があるため P_0 より低下することがない。このとき水中にはガスが瞬間に発生し、弾性係数 K が小さくなるものと考えられる。このときの体積変形 $\Delta V/V$ と圧力との関係は図-3のよう想像され、 K の値も図-4のように絶対圧力0に近くにしたがって小さくなるものと想像される。

2. K と H の関係 K と H の関係を定めて式(1), (2)に示す基礎方程式を解くことが本研究の最大の目的である。図-4に示す曲線(1)のように上に凸のグラフで K が0に近く場合は、 a_0 を正圧の波速として、負圧時の波速 a は $g/a = g/a_0 + n\alpha/H^{n+1}$ ($n=1, 2, 3, \dots$, α 定数), であるとして、 $K = (g/(wa^2) - D/(EB))^{-1}$ なる関係で K を定義すれば良い。また曲線(2)のように上に凹の形で K が0に近く場合には $H \geq H_0$ のとき $K = K_0$, $H < H_0$ のとき $a = a_0 H/H_0$ および

$$K = H^2 / \left[\frac{D}{EB} \left\{ \left(\frac{EB}{K_0 D} + 1 \right) H_0^2 - H^2 \right\} \right]$$

とすれば良い。これら等の3つの仮定のうち直線的仮定は水が気体化してボイルの法則にしたがうという考え方によいが、後述のように最も現実と一致しないものである。

3. 特性曲線 式(1), (2)の特性曲線を K が H の関数であることを考えに入れて求める。

$$\frac{dx}{dt} = \pm a \quad \cdots \cdots (3), \quad dv = \mp d \left\{ g \int \frac{dH}{a} \right\} \quad \cdots \cdots (4) \quad (\text{複合同順})$$

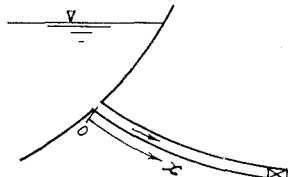


図-1

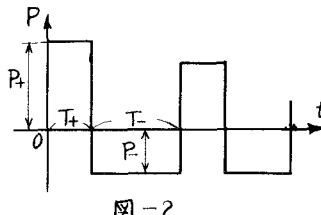


図-2

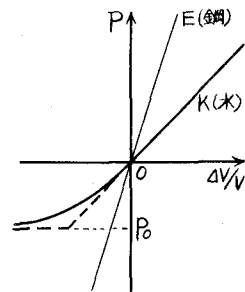


図-3

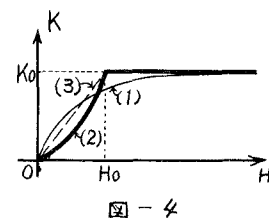


図-4

となり (3)式の上にたって、(4)式を用いて図式解法をする場合、図-6に示すように横軸を v_i 、縦軸を $\int \frac{g}{a} dH$ とした座標系を用いれば良いこととなる。実験の結果、図-5に示されるように初期管内流速 v_i と負圧の一周期目の波速 a との間には $a \cdot v_i = \text{Const}$ なる関係がみられる。一方 $v_i = gH_+ / a_+$ なる関係を考えると $a \cdot H_+ = \text{Const}$ なる関係も成立することになる。これは図-4に示すK-Hの関係は曲線(2)が最も良い結果をあたえることを意味する。また図-7に示すよ

うに、K-Hの仮定を図-4の曲線(1), (2), (3)として特性曲線の縦軸 $\int \frac{g}{a} dH$ を計算すると、曲線(1), (2)は負圧の頭打現象を説明出来るが、(3)は特性曲線の縦軸がマイナスの方に向にのびないのでKの仮定に誤りがあることになる。図-6は特性曲線を用いた図解方法の例で Schnyder-Bergeron の特性直線法と全く同様に使われる。

4 まとめ 図-6の縦軸を定める場合、K-Hの関係が正しくないと、図-7に示されるように負圧の波速の実験値と計算値とが一致しなくなる。図-7の(1)は $n=2$, $\alpha=1/5$ として計算、(2)と(3)は $H_0=10\text{m}$ として計算したもので多くの計算結果の一部である。いずれも波速が実験と一致しないためK-Hの関数関係の仮定に問題が残されている。この点について今後より

正確に研究をすすめに
い。本研究は文部省科学研究費(特定研究)
の援助を受け、本学の
学生であつた上野慎治
君(京大大学院)、その他の方々の協力を受け
たことを報告し、深く
謝意を表す。

実験装置の大略
管路長 $L=106.3\text{m}$, 内径 $D=80\text{mm}$
管厚 $b=4.55\text{mm}$
粗度係数 $n=0.010$
波速 $a_0=1290\text{m/s}$
落差 $OH=13.23\text{m}$

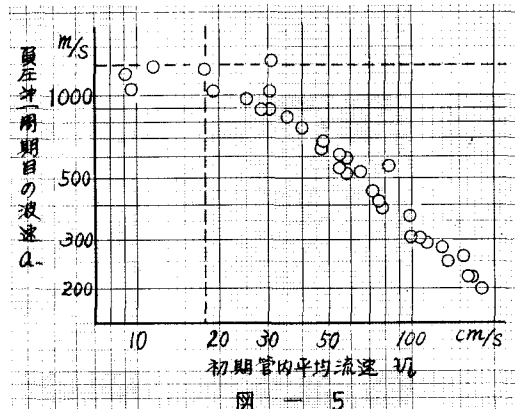


図-5

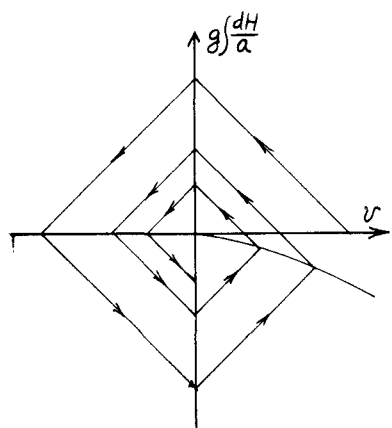


図-6 急肉塞に対する図解法

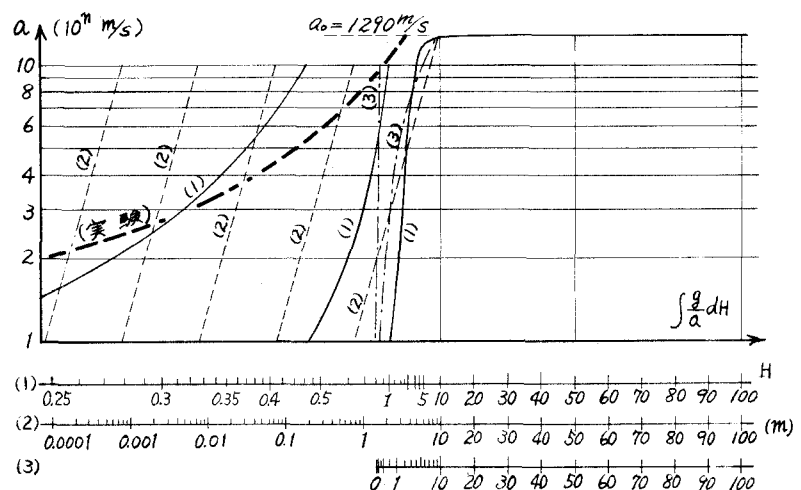


図-7 特性曲線圧力軸と波速の関係